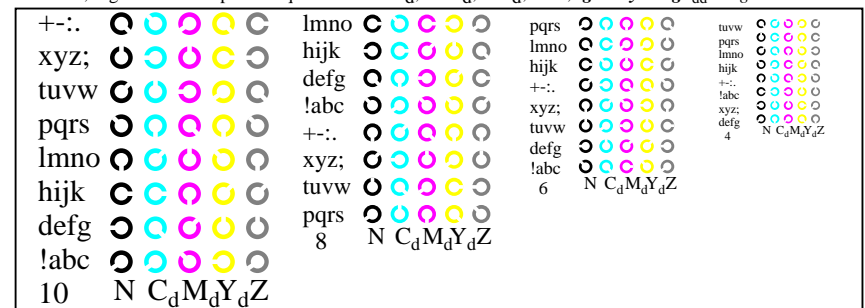
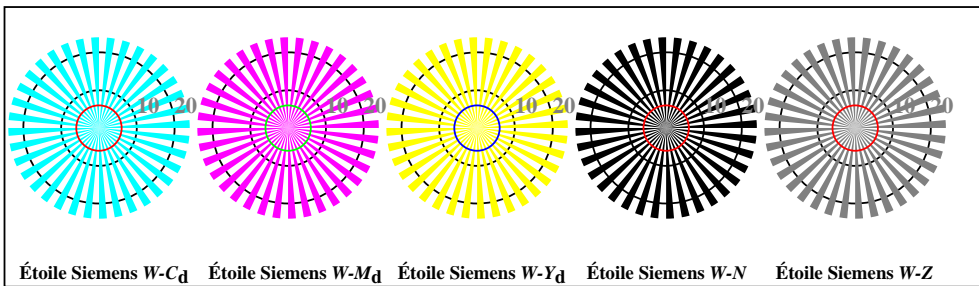


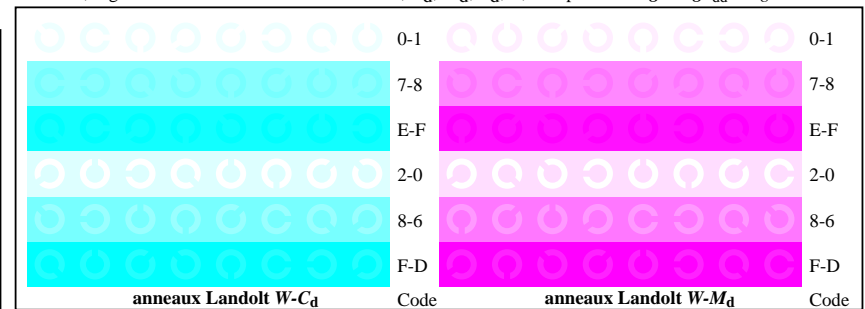
AF261-1, Fig. B4Wdd: 16 paliers équidistants $W-C_d$; $W-M_d$; $W-J_d$; $W-N$; $rgb/cmy0 \rightarrow rgb_{dd}$ setrgbcolor



AF261-3, Fig. B5Wdd: code et anneaux Landolt N ; C_d ; M_d ; Y_d ; Z ; PS opérateur : $rgb \rightarrow rgb_{dd}$ setrgbcolor



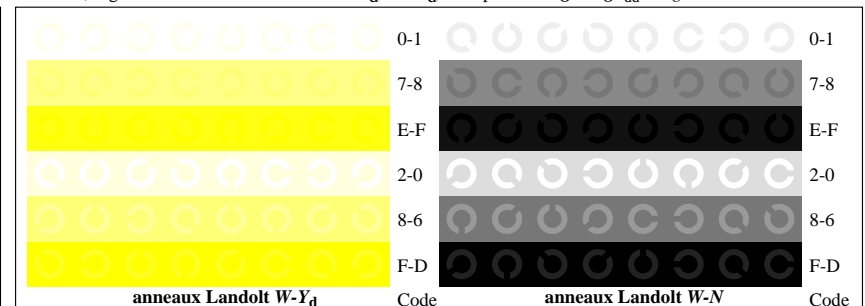
AF260-5, Fig. B2Wdd: étoile de Siemens $W-C_d$; $W-M_d$; $W-Y_d$; $W-N$; PS opérateur : $rgb \rightarrow rgb_{dd}$ setrgbcolor



AF261-5, Fig. B6Wdd: anneaux Landolt $W-C_d$; $W-M_d$; PS opérateur : $rgb \rightarrow rgb_{dd}$ setrgbcolor



AF260-7, Fig. B3Wdd: 14 CIE test couleurs et 2 + 16 paliers de gris (sf); $rgb/cmy0 \rightarrow rgb_{dd}$ setrgbcolor



AF261-7, Fig. B7Wdd: anneaux Landolt $W-Y_d$; $W-N$; PS opérateur : $rgb \rightarrow rgb_{dd}$ setrgbcolor